

Imágenes Servicio Social

Robles Gómez Mariano

March 30, 2023

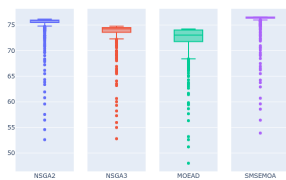


Figure 1: Diagrama de caja del problema wfg3 con indicador hv con 3 objetivos.

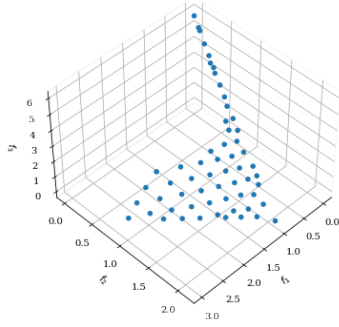


Figure 2: Aproximación al frente de pareto del problema wfg3 con indicador igdp usando algoritmoN-SGA3 con 3 objetivos.

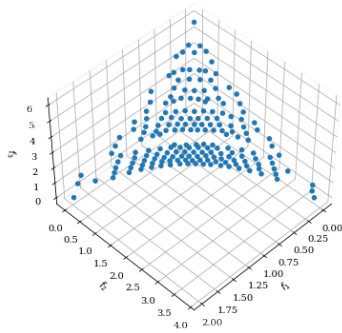


Figure 3: Aproximación al frente de pareto del problema wfg2 con indicador hv usando algoritmoN-SGA3 con 3 objetivos.

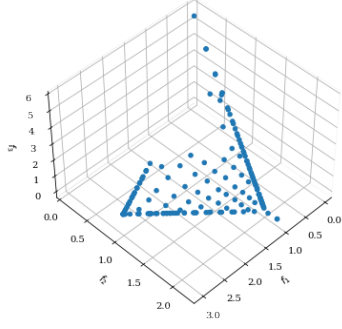


Figure 4: Aproximación al frente de pareto del problema wfg3 con indicador igdp usando algoritmo-MOEAD con 3 objetivos.

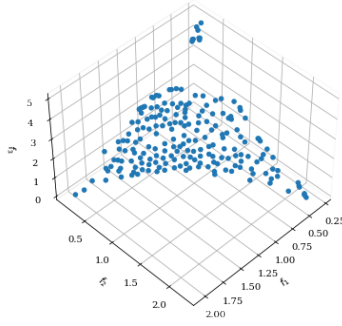


Figure 5: Aproximación al frente de pareto del problema wfg1 con indicador Tiempo usando algoritmoSMSEMOA con 3 objetivos.

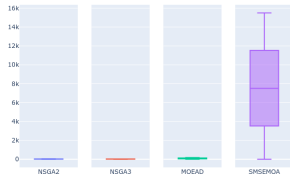


Figure 6: Diagrama de caja del problema wfg3 con indicador Tiempo con 3 objetivos.

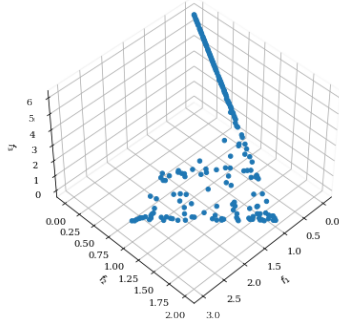


Figure 7: Aproximación al frente de pareto del problema wfg3 con indicador igdp usando algoritmoN-SGA2 con 3 objetivos.

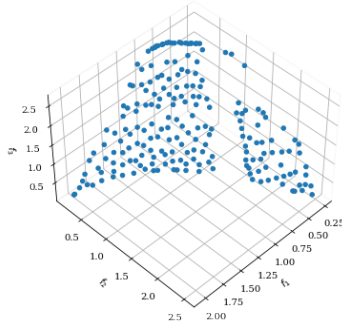


Figure 8: Aproximación al frente de pareto del problema wfg1 con indicador hv usando algoritmoSM-SEMOA con 3 objetivos.

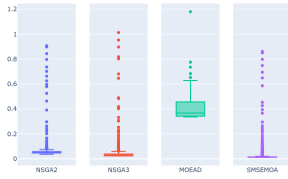


Figure 9: Diagrama de caja del problema wfg2 con indicador igdp con 3 objetivos.

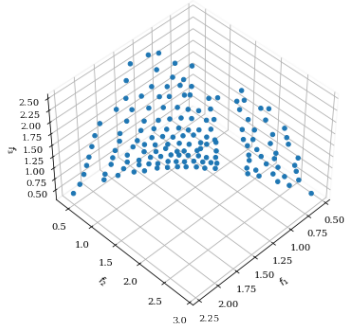


Figure 10: Aproximación al frente de pareto del problema wfg1 con indicador hv usando algoritmoN-SGA3 con 3 objetivos.

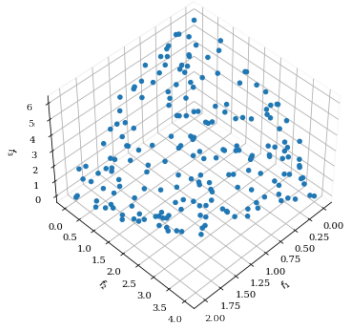


Figure 11: Aproximación al frente de pareto del problema wfg4 con indicador igdp usando algoritmoN-SGA2 con 3 objetivos.

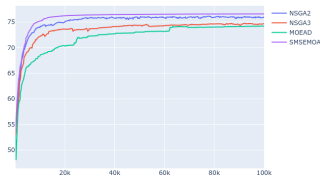


Figure 12: Grafico de convergencia del problema wfg3 con indicador hv con 3 objetivos.

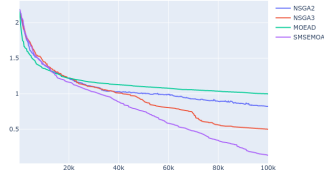


Figure 13: Grafico de convergencia del problema wfg1 con indicador igdp con 3 objetivos.

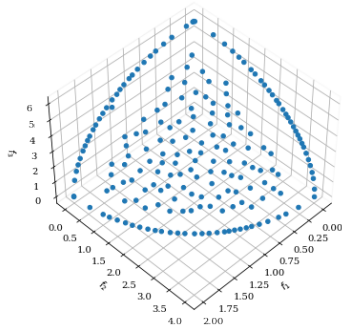


Figure 14: Aproximación al frente de pareto del problema wfg4 con indicador igdp usando algoritmoSMSEMOA con 3 objetivos.

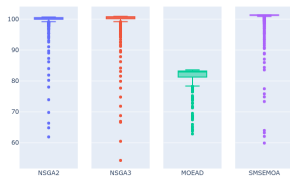


Figure 15: Diagrama de caja del problema wfg2 con indicador hv con 3 objetivos.

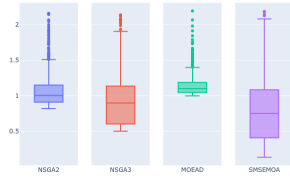


Figure 16: Diagrama de caja del problema wfg1 con indicador igdp con 3 objetivos.

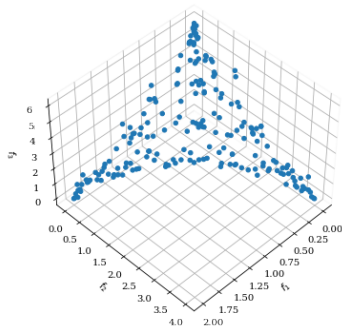


Figure 17: Aproximación al frente de pareto del problema wfg2 con indicador Tiempo usando algoritmo NSGA2 con 3 objetivos.

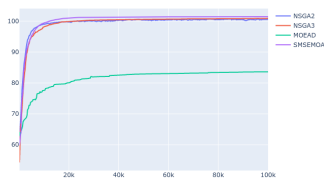


Figure 18: Grafico de convergencia del problema wfg2 con indicador hv con 3 objetivos.

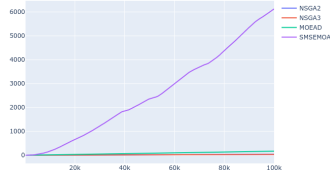


Figure 19: Grafico de convergencia del problema wfg1 con indicador Tiempo con 3 objetivos.

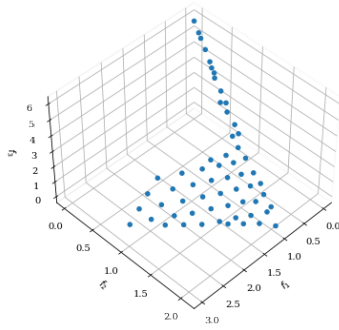


Figure 20: Aproximación al frente de pareto del problema wfg3 con indicador hv usando algoritmo NSGA3 con 3 objetivos.

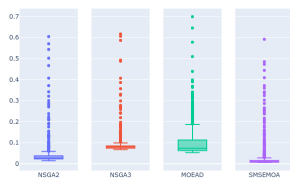


Figure 21: Diagrama de caja del problema wfg3 con indicador igdp con 3 objetivos.

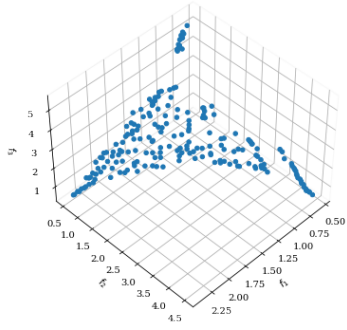


Figure 22: Aproximación al frente de pareto del problema wfg1 con indicador Tiempo usando algoritmoNSGA2 con 3 objetivos.

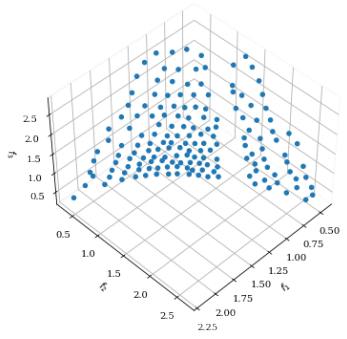


Figure 23: Aproximación al frente de pareto del problema wfg1 con indicador Tiempo usando algoritmoNSGA3 con 3 objetivos.

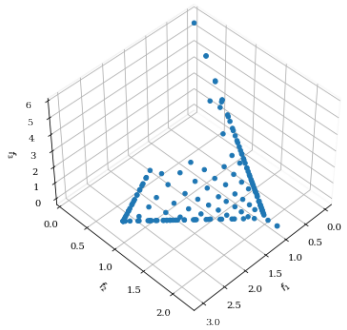


Figure 24: Aproximación al frente de pareto del problema wfg3 con indicador hv usando algoritmoMOEAD con 3 objetivos.

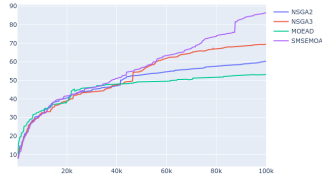


Figure 25: Grafico de convergencia del problema wfg1 con indicador hv con 3 objetivos.

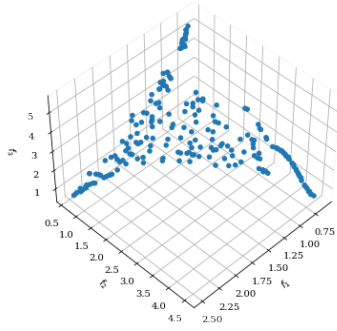


Figure 26: Aproximación al frente de pareto del problema wfg1 con indicador igdp usando algoritmo NSGA2 con 3 objetivos.

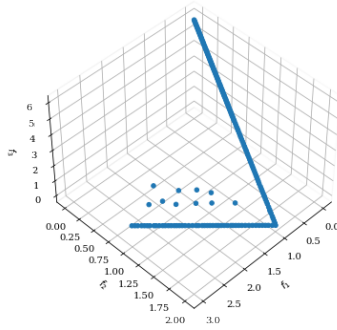


Figure 27: Aproximación al frente de pareto del problema wfg3 con indicador Tiempo usando algoritmo SMSEMOA con 3 objetivos.

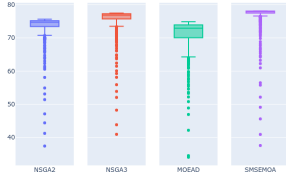


Figure 28: Diagrama de caja del problema wfg4 con indicador hv con 3 objetivos.

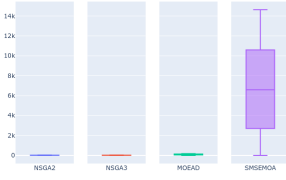


Figure 29: Diagrama de caja del problema wfg2 con indicador Tiempo con 3 objetivos.

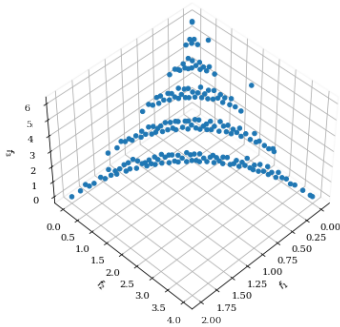


Figure 30: Aproximación al frente de pareto del problema wfg2 con indicador igdp usando algoritmo SMSEMOA con 3 objetivos.

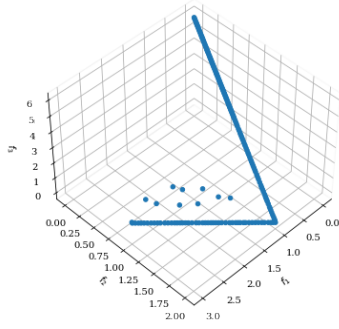


Figure 31: Aproximación al frente de pareto del problema wfg3 con indicador hv usando algoritmoSM-SEMOA con 3 objetivos.

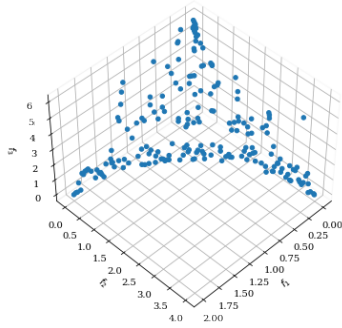


Figure 32: Aproximación al frente de pareto del problema wfg2 con indicador hv usando algoritmoN-NSGA2 con 3 objetivos.

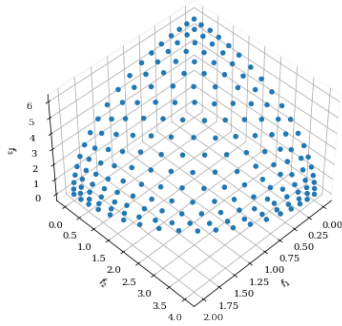


Figure 33: Aproximación al frente de pareto del problema wfg4 con indicador Tiempo usando algoritmoNSGA3 con 3 objetivos.

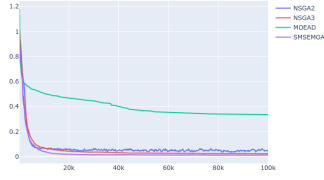


Figure 34: Grafico de convergencia del problema wfg2 con indicador igdp con 3 objetivos.

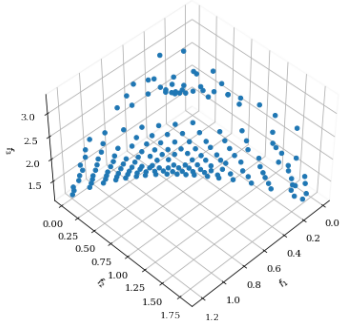


Figure 35: Aproximación al frente de pareto del problema wfg2 con indicador hv usando algoritmo-MOEAD con 3 objetivos.

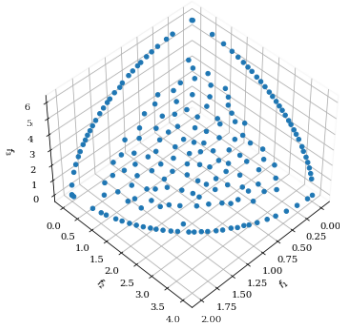


Figure 36: Aproximación al frente de pareto del problema wfg4 con indicador hv usando algoritmoSM-SEMOA con 3 objetivos.

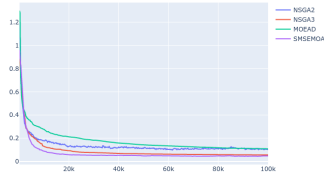


Figure 37: Grafico de convergencia del problema wfg4 con indicador igdp con 3 objetivos.

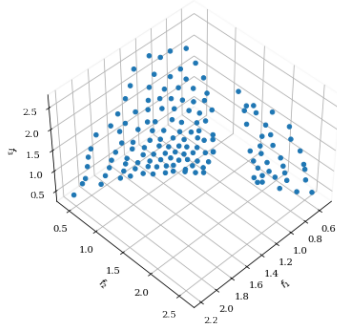


Figure 38: Aproximación al frente de pareto del problema wfg1 con indicador igdp usando algoritmoN-SGA3 con 3 objetivos.

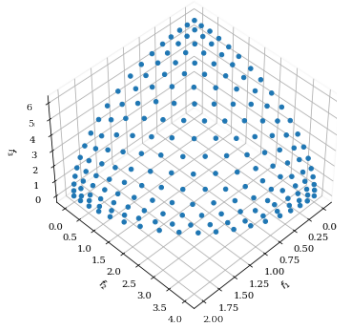


Figure 39: Aproximación al frente de pareto del problema wfg4 con indicador igdp usando algoritmoN-SGA3 con 3 objetivos.

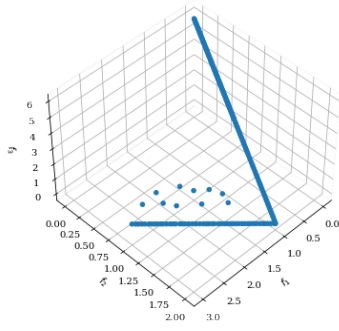


Figure 40: Aproximación al frente de pareto del problema wfg3 con indicador igdp usando algoritmoSMSEMOA con 3 objetivos.

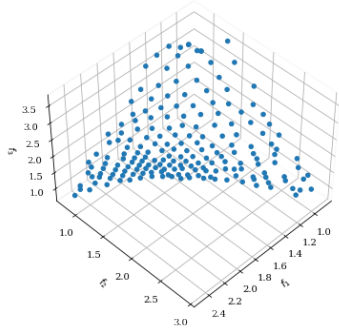


Figure 41: Aproximación al frente de pareto del problema wfg1 con indicador Tiempo usando algoritmoMOEAD con 3 objetivos.

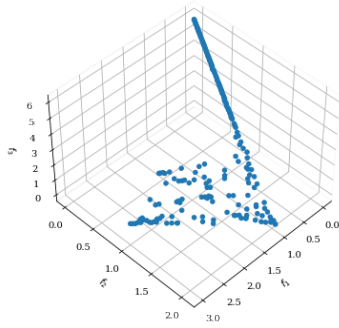


Figure 42: Aproximación al frente de pareto del problema wfg3 con indicador Tiempo usando algoritmoNSGA2 con 3 objetivos.

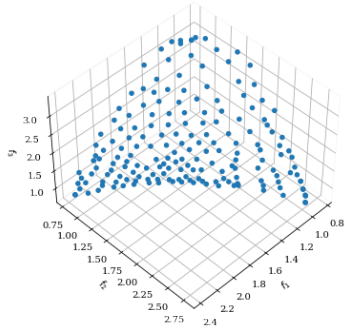


Figure 43: Aproximación al frente de pareto del problema wfg1 con indicador hv usando algoritmo-MOEAD con 3 objetivos.

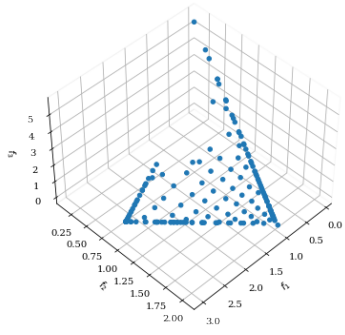


Figure 44: Aproximación al frente de pareto del problema wfg3 con indicador Tiempo usando algoritmo-MOEAD con 3 objetivos.

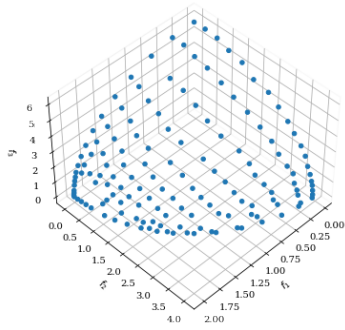


Figure 45: Aproximación al frente de pareto del problema wfg4 con indicador Tiempo usando algoritmo-MOEAD con 3 objetivos.

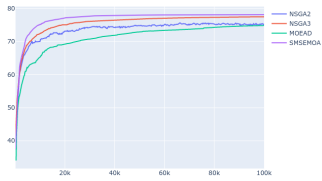


Figure 46: Grafico de convergencia del problema wfg4 con indicador hv con 3 objetivos.

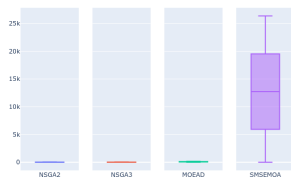


Figure 47: Diagrama de caja del problema wfg4 con indicador Tiempo con 3 objetivos.

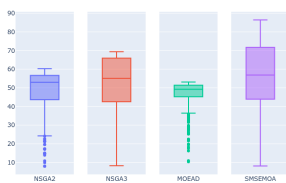


Figure 48: Diagrama de caja del problema wfg1 con indicador hv con 3 objetivos.

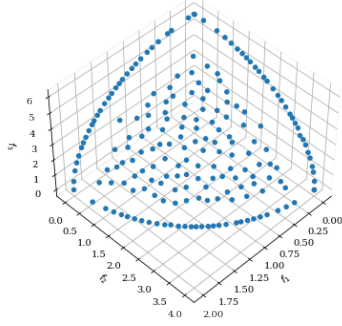


Figure 49: Aproximación al frente de pareto del problema wfg4 con indicador Tiempo usando algoritmo-smSEMOA con 3 objetivos.

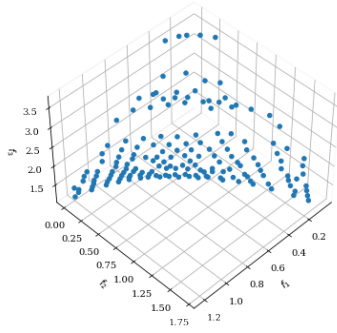


Figure 50: Aproximación al frente de pareto del problema wfg2 con indicador igdp usando algoritmo-MOEAD con 3 objetivos.

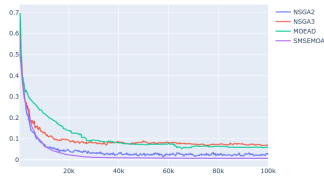


Figure 51: Grafico de convergencia del problema wfg3 con indicador igdp con 3 objetivos.

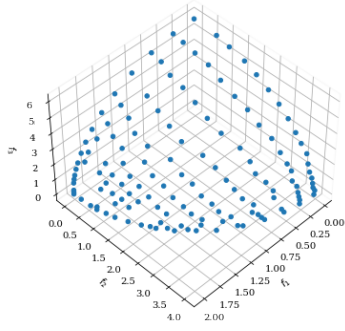


Figure 52: Aproximación al frente de pareto del problema wfg4 con indicador igdp usando algoritmo-MOEAD con 3 objetivos.

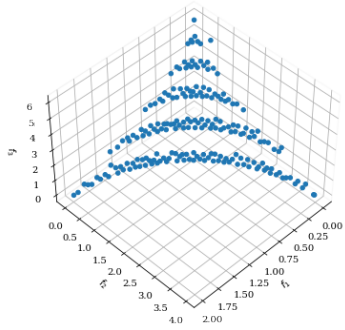


Figure 53: Aproximación al frente de pareto del problema wfg2 con indicador hv usando algoritmoSM-SEMOA con 3 objetivos.

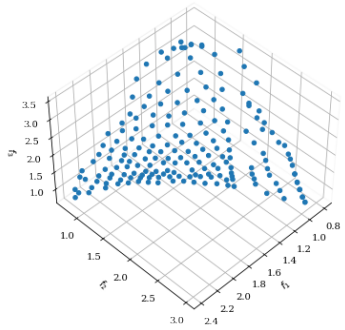


Figure 54: Aproximación al frente de pareto del problema wfg1 con indicador igdp usando algoritmo-MOEAD con 3 objetivos.

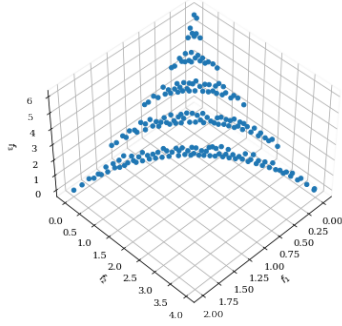


Figure 55: Aproximación al frente de pareto del problema wfg2 con indicador Tiempo usando algoritmoSMSEMOA con 3 objetivos.

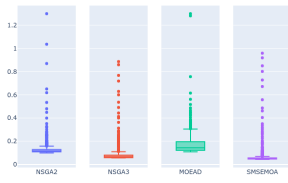


Figure 56: Diagrama de caja del problema wfg4 con indicador igdp con 3 objetivos.

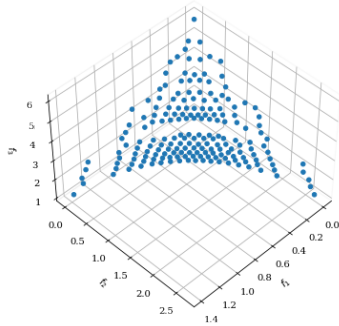


Figure 57: Aproximación al frente de pareto del problema wfg2 con indicador Tiempo usando algoritmoNSGA3 con 3 objetivos.

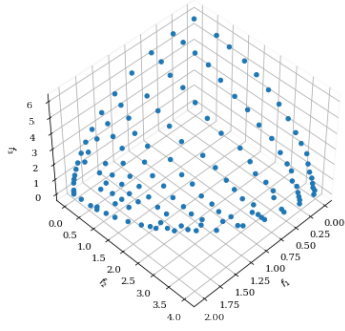


Figure 58: Aproximación al frente de pareto del problema wfg4 con indicador hv usando algoritmo-MOEAD con 3 objetivos.

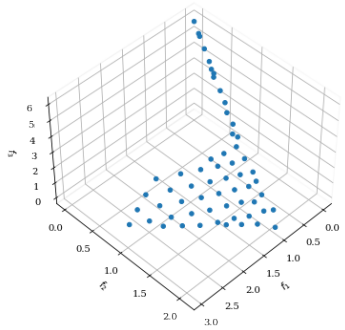


Figure 59: Aproximación al frente de pareto del problema wfg3 con indicador Tiempo usando algoritmoNSGA3 con 3 objetivos.

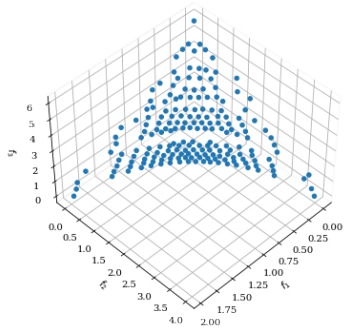


Figure 60: Aproximación al frente de pareto del problema wfg2 con indicador igdp usando algoritmoNSGA3 con 3 objetivos.

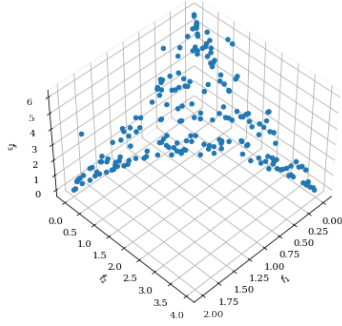


Figure 61: Aproximación al frente de pareto del problema wfg2 con indicador igdp usando algoritmoN-SGA2 con 3 objetivos.

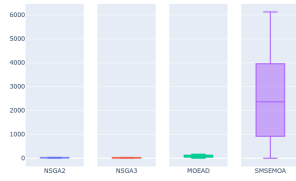


Figure 62: Diagrama de caja del problema wfg1 con indicador Tiempo con 3 objetivos.

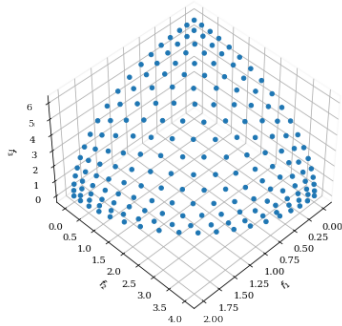


Figure 63: Aproximación al frente de pareto del problema wfg4 con indicador hv usando algoritmoN-SGA3 con 3 objetivos.

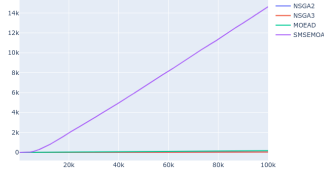


Figure 64: Grafico de convergencia del problema wfg2 con indicador Tiempo con 3 objetivos.

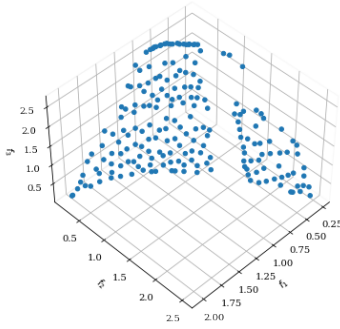


Figure 65: Aproximación al frente de pareto del problema wfg1 con indicador igdp usando algoritmoSMSEMOA con 3 objetivos.

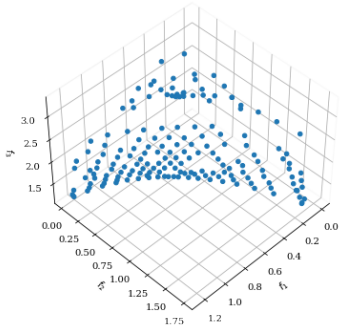


Figure 66: Aproximación al frente de pareto del problema wfg2 con indicador Tiempo usando algoritmoMOEA/D con 3 objetivos.

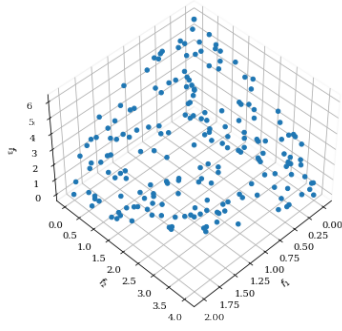


Figure 67: Aproximación al frente de pareto del problema wfg4 con indicador Tiempo usando algoritmoNSGA2 con 3 objetivos.

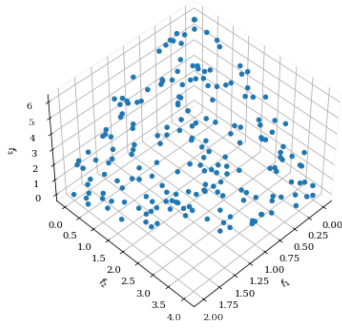


Figure 68: Aproximación al frente de pareto del problema wfg4 con indicador hv usando algoritmoNSGA2 con 3 objetivos.

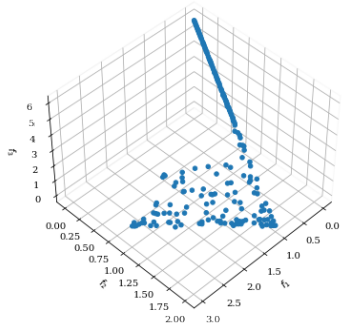


Figure 69: Aproximación al frente de pareto del problema wfg3 con indicador hv usando algoritmoNSGA2 con 3 objetivos.

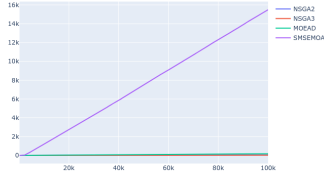


Figure 70: Grafico de convergencia del problema wfg3 con indicador Tiempo con 3 objetivos.

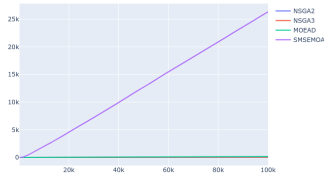


Figure 71: Grafico de convergencia del problema wfg4 con indicador Tiempo con 3 objetivos.

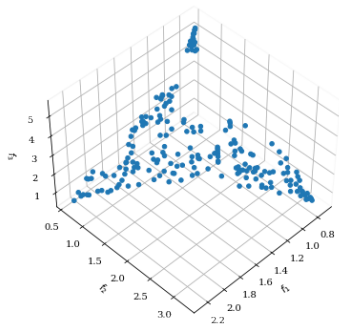


Figure 72: Aproximación al frente de pareto del problema wfg1 con indicador hv usando algoritmo NSGA2 con 3 objetivos.